

*Propagazione dei campi
elettromagnetici nei tessuti biologici*

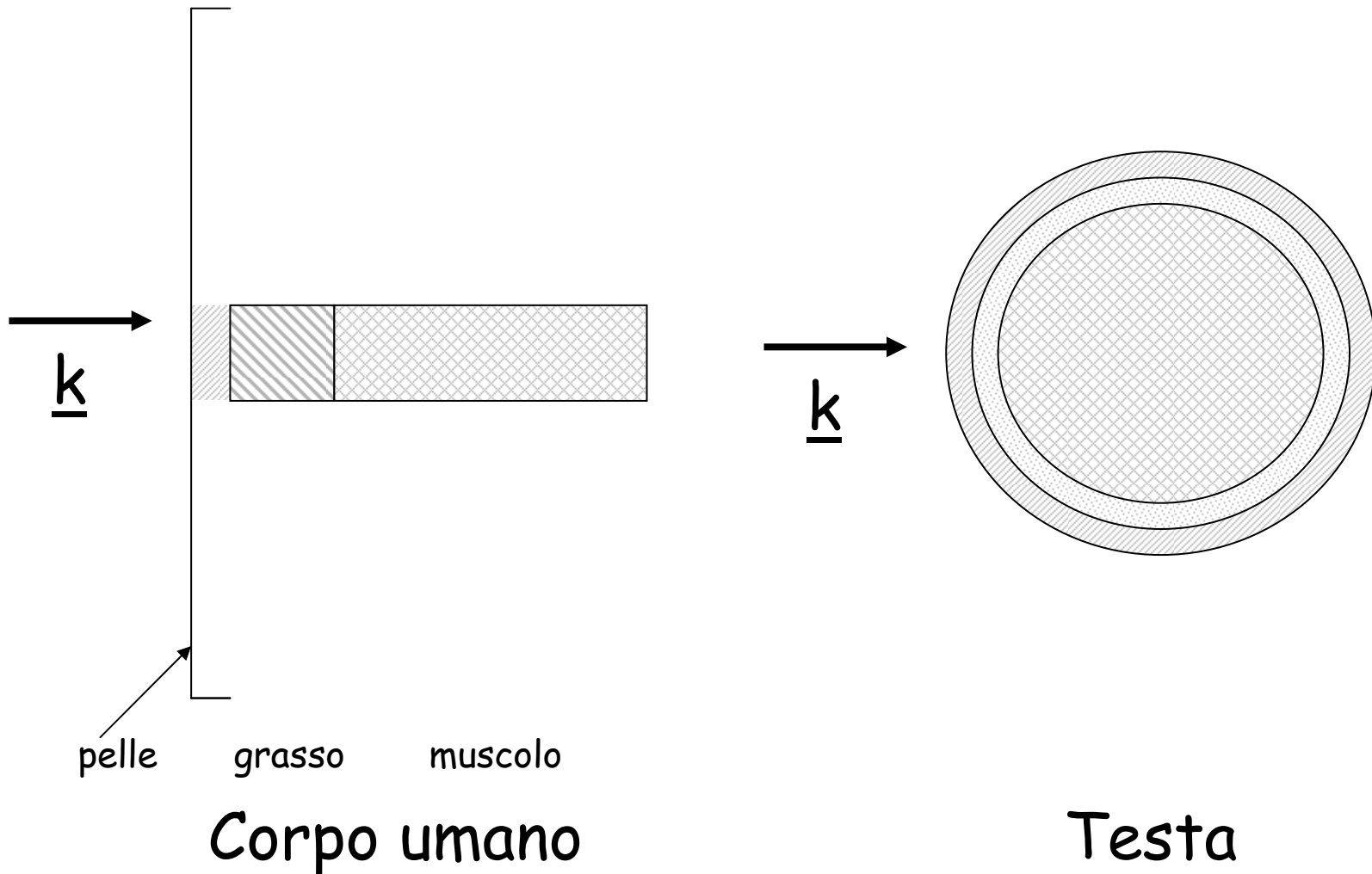
Marta Cavagnaro

Studio antenne entro o vicino corpo umano

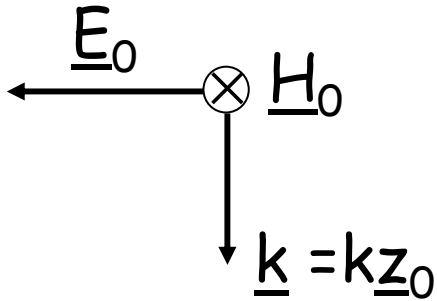
- Several methods for analyzing antenna arrays for medical applications exist.
- For simple cases where the biological structure can be approximated as uniform or by very simple models such as layers or cylinders, classical methods such as analytical analysis or method of moments can be used. If the structure of the body varies so much that anatomically precise modeling is rendered imprecise by variation between individuals, these simple analyses can be used to determine an optimal array design for the range of expected variation between individuals. An example of this was done in Hadley for design of coils for vascular MRI. Another example in which the body can be modeled as near-uniform is in the case of arrays for hyperthermia of the brain.
- Method of moments with a simple pulsed basis function (which is the most numerically efficient form) has limitations for heterogeneous models, however, higher-order basis functions can overcome this limitation, although the computational complexity is significantly increased. In addition, the method of moments is very computationally expensive when heterogeneous models are evaluated.
- A more efficient method for calculation of heterogeneous objects is the finite difference time domain (FDTD) method, which has led to its tremendous popularity for numerical bioelectromagnetic calculations. For example, a interstitial array of hyperthermia applicators simulated using method of moments was simulated with a fraction of the computational resources using FDTD. Several individual hyperthermia applicators have been simulated using FDTD.

Modelli per il calcolo dell'assorbimento

Onda piana che incide su un mezzo multistrato



Onde piane uniformi (TEM)



Il campo elettrico \underline{E}_0 ed il campo magnetico \underline{H}_0 sono perpendicolari fra di loro e perpendicolari alla direzione di propagazione \underline{k} (TEM)

La costante di propagazione è complessa: $\underline{k} = \underline{\beta} - j\underline{\alpha}$

dove:

Si ha: $\underline{E}_0 = \zeta \underline{H}_0 \times \underline{z}_0$

$$\underline{k} \cdot \underline{k} = \omega^2 \mu \epsilon_c$$

Condizione di separabilità

L'impedenza d'onda è: $\zeta = \sqrt{\frac{\mu}{\epsilon_c}}$

$$\underline{E}(\underline{r}, \omega) = \underline{E}_0 e^{-\underline{\alpha} \cdot \underline{r}} e^{-j \underline{\beta} \cdot \underline{r}}$$

Propagazione onde piane in un mezzo omogeneo

$$\underline{E}(\underline{r}, \omega) = \underline{E}_0 e^{-\underline{\alpha} \cdot \underline{r}} e^{-j \underline{\beta} \cdot \underline{r}}$$

ampiezza + polarizzazione

fase

- La propagazione dell'onda è caratterizzata **LUNGO LA DIREZIONE DI** \underline{r} dalla costante di attenuazione α , legata alle caratteristiche del mezzo, e dalla costante di fase β .
- In generale, risulta:

$$\underline{k} = \underline{\beta} - j\underline{\alpha}$$

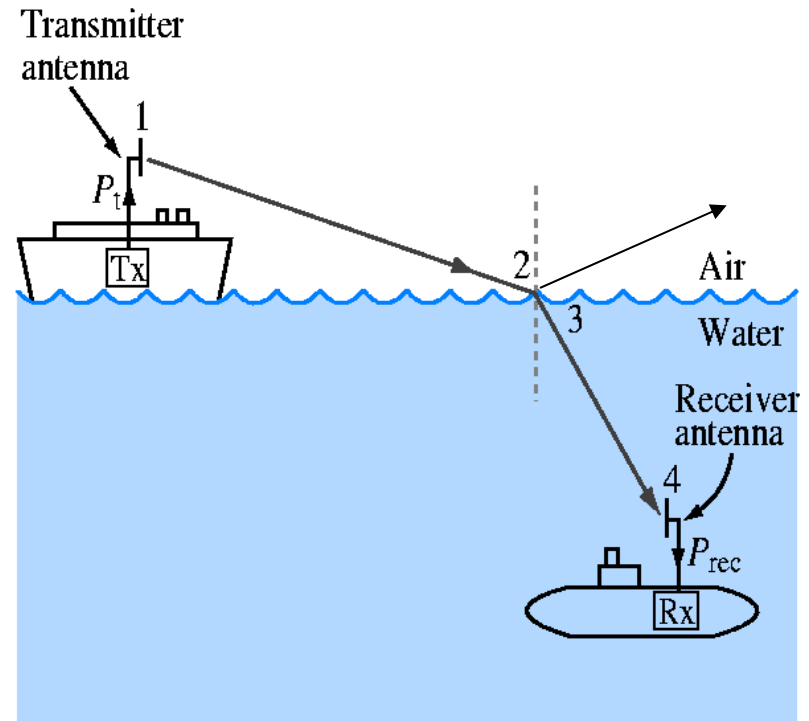
$$k^2 = \omega^2 \mu \varepsilon_c = \omega^2 \mu \left(\varepsilon + \frac{\sigma}{j\omega} \right)$$

- La velocità di fase, velocità di un ipotetico osservatore per non vedere variazioni di fase dell'onda, è data da:

$$v_f = \frac{\omega}{\beta}$$

Propagazione onda piana

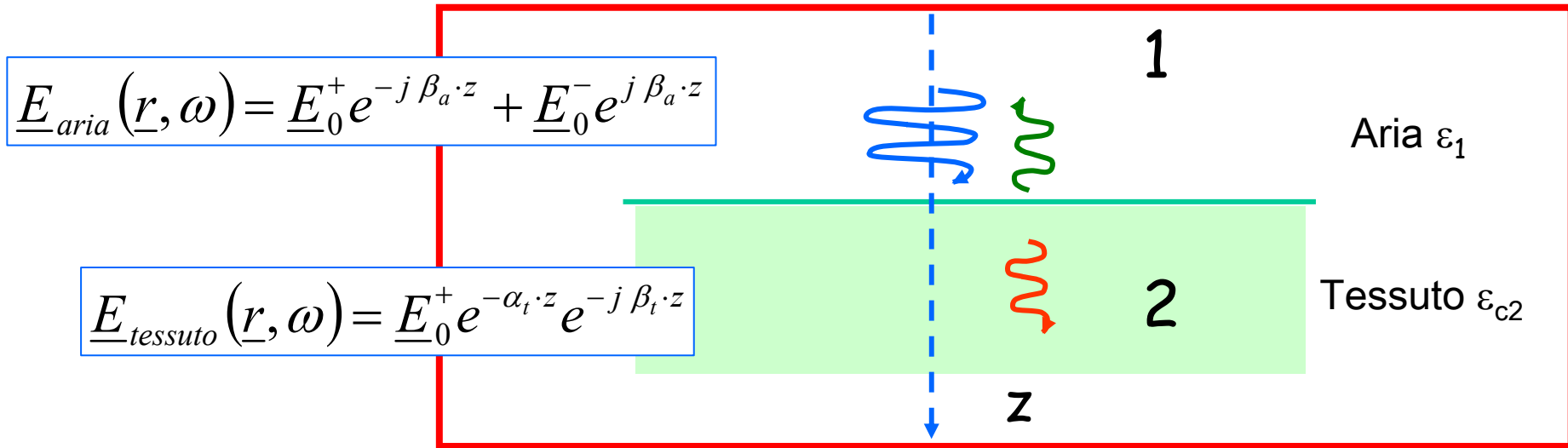
- Quando un'onda piana incide alla superficie di separazione tra due mezzi con caratteristiche elettromagnetiche diverse, nascono due onde: una **riflessa** che si propaga nel primo mezzo (da cui proveniva l'onda) ed una **trasmessa (rifratta)** nel secondo mezzo.
- L'onda riflessa e trasmessa si possono calcolare a partire dall'onda incidente e dalle condizioni al contorno che devono essere soddisfatte dal campo elettromagnetico alla superficie di separazione di due mezzi.
- Il **campo totale** nel primo mezzo sarà dato dalla somma dell'onda incidente con l'onda riflessa.



Incidenza normale

Consideriamo un'onda piana ed uniforme che proviene dall'aria e incide su di un tessuto biologico omogeneo che occupa un intero semispazio.

L'onda incidente in parte è trasmessa nel tessuto, nel quale si propaga attenuandosi, ed in parte viene riflessa

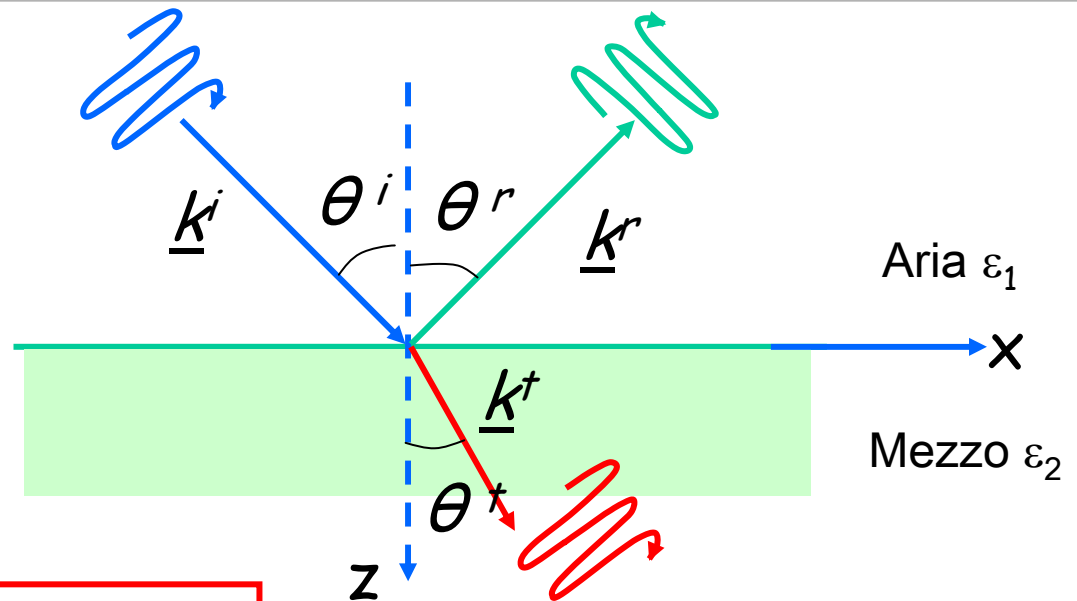


Coefficiente di riflessione del campo elettrico $S_E = \frac{E_0^r}{E_0^i} = \frac{\zeta_2 - \zeta_1}{\zeta_2 + \zeta_1}$

Coefficiente di trasmissione $T_E = \frac{E_0^t}{E_0^i} = 1 + S_E = 1 + \frac{\zeta_2 - \zeta_1}{\zeta_2 + \zeta_1} = \frac{2\zeta_2}{\zeta_2 + \zeta_1}$

Incidenza obliqua

Applicando le condizioni al contorno alla superficie di separazione



$$k_1 \sin \theta^i = k_1 \sin \theta^r \Rightarrow \theta^i = \theta^r$$

Legge della riflessione

$$k_1 \sin \theta^i = k_2 \sin \theta^t \Rightarrow \sin \theta^t = \sqrt{\frac{\mu_1 \epsilon_1}{\mu_2 \epsilon_2}} \sin \theta^i$$

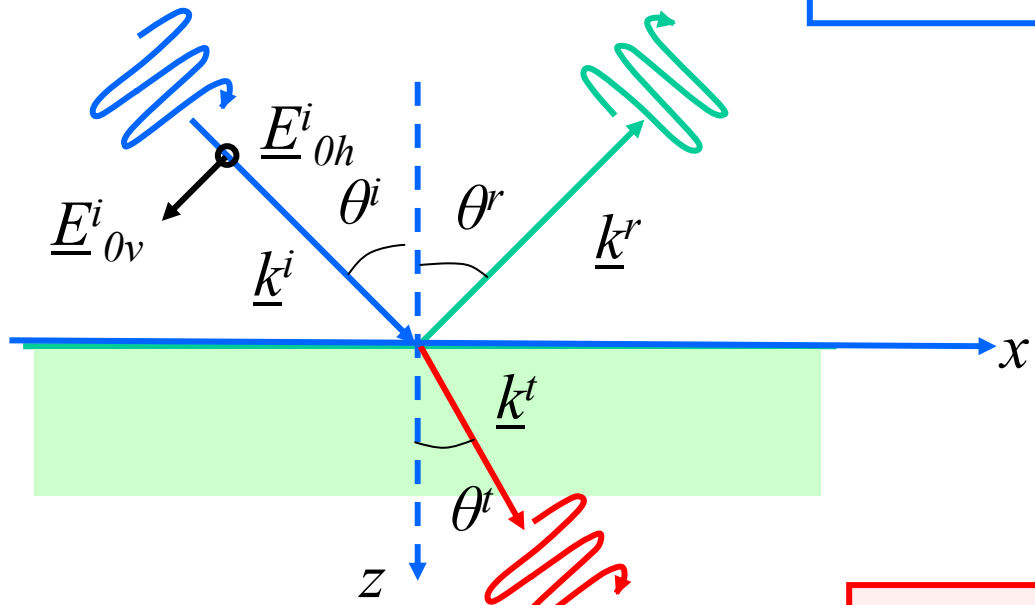
*Legge di Snell
o della rifrazione*

nota bene... $\sqrt{\frac{\mu_1 \epsilon_1}{\mu_2 \epsilon_2}} \sin(\theta^i) \leq 1 \Rightarrow \theta^t \text{ reale}$

Incidenza obliqua - 2

polarizzazione orizzontale
 $\underline{E}^i_{oh} = E^i_{oh} \underline{y}_0$

$$S_E = \frac{\sin(\theta^t - \theta^i)}{\sin(\theta^t + \theta^i)}$$



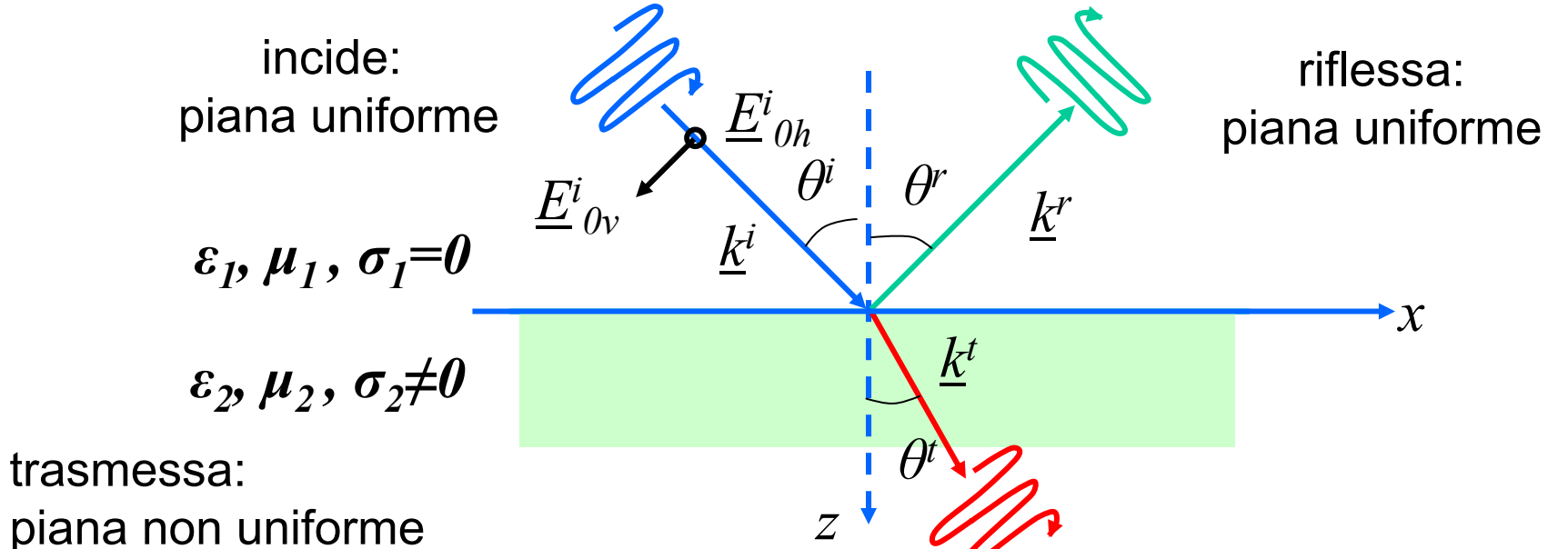
polarizzazione verticale
 $\underline{H}^i_{ov} = H^i_{ov} \underline{y}_0$

$$S_{E_v} = \frac{\tan(\theta^i - \theta^t)}{\tan(\theta^i + \theta^t)}$$

Angolo di Brewster (non c'è onda riflessa)

$$\theta_B^i = \arctan \sqrt{\frac{\epsilon_2}{\epsilon_1}}$$

Incidenza obliqua - 2° mezzo buon conduttore



$$\underline{k}^t = \underline{\beta}^t - j\underline{\alpha}^t \Rightarrow \beta_x^t \neq 0; \quad \underline{\alpha}^t = \alpha^t \underline{z}_0$$

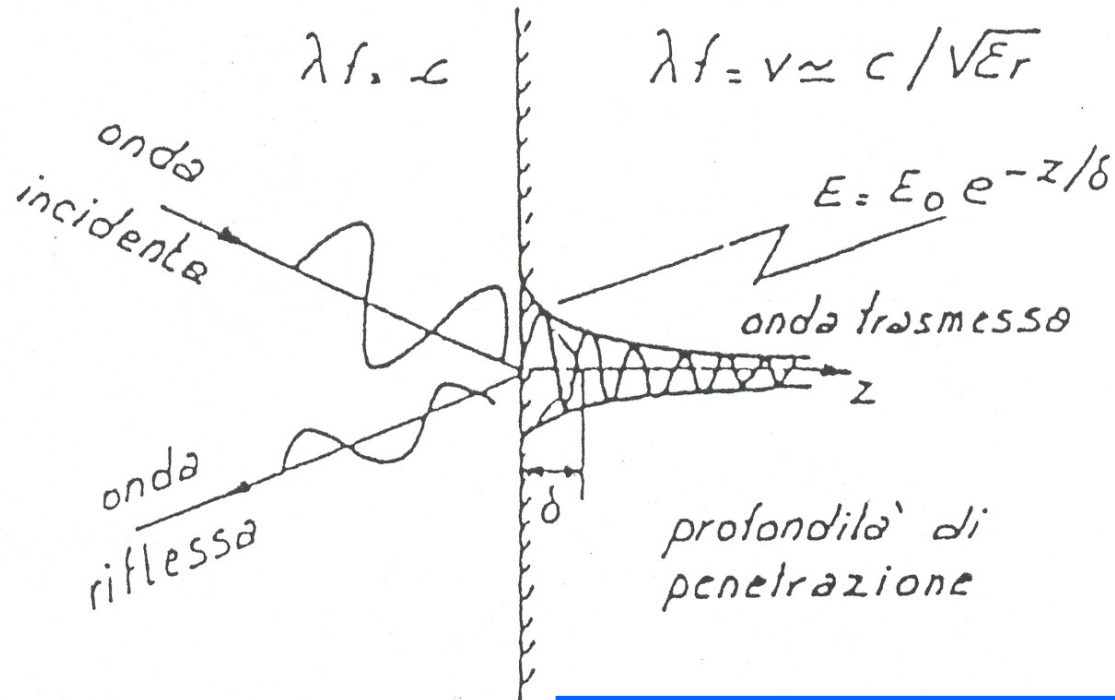
$\epsilon_2, \mu_2, \sigma_2 \neq 0$ e elevato si trova...

$$\theta_\beta^t \cong 0$$

$$\underline{\beta}^t \cong \beta^t \underline{z}_0$$

l'onda trasmessa si può considerare piana uniforme (si propaga lungo z) indipendentemente dall'angolo di incidenza

Incidenza obliqua - 2° mezzo buon conduttore



$$\underline{E}_{\text{tessuto}}(\underline{r}, \omega) = \underline{E}_0^+ e^{-\alpha_t \cdot z} e^{-j \beta_t \cdot z}$$

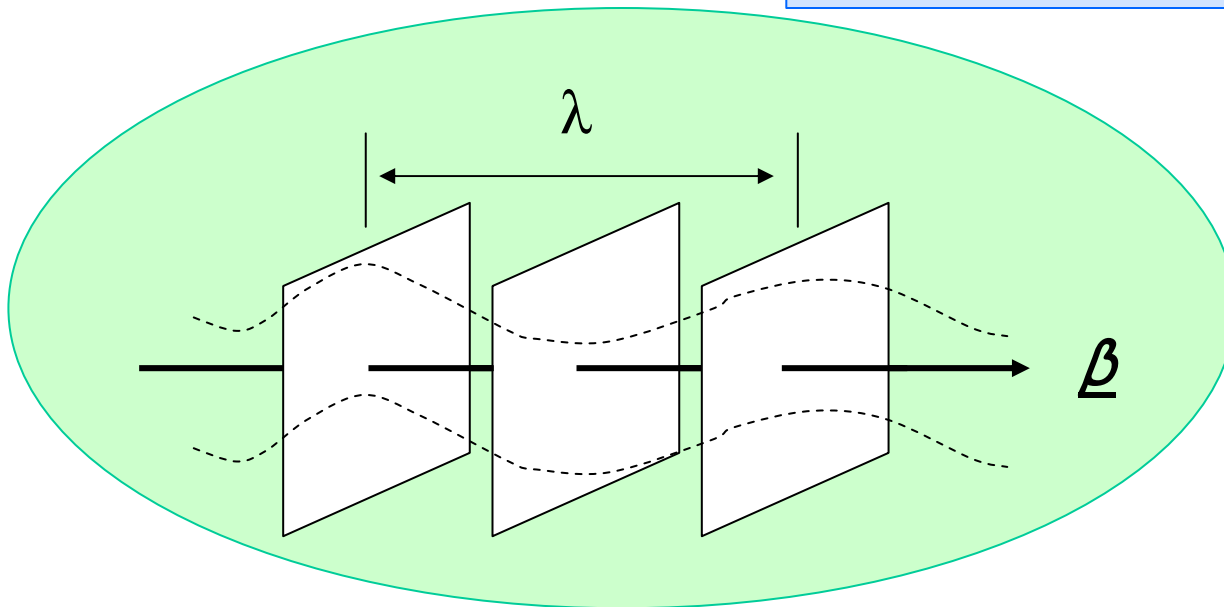
Lunghezza d'onda

Si definisce lunghezza d'onda λ la distanza tra due punti fra i quali esiste una differenza di fase pari a 2π

Lungo la direzione di $\underline{\beta}$:

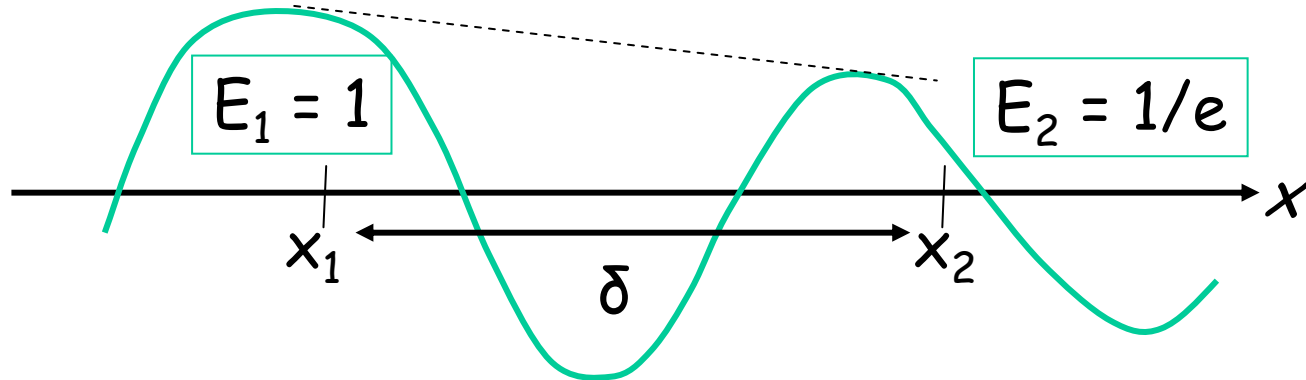
$$\beta r_2 - \beta r_1 = 2\pi$$

$$\lambda = r_2 - r_1 = \frac{2\pi}{\beta}$$

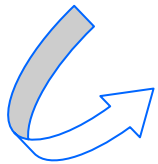


Profondità di penetrazione

La **profondità di penetrazione** è definita come la distanza alla quale l'onda si è attenuata di $1/e$ ($\sim 1/3$)



$$\underline{E}_{\text{tessuto}}(\underline{r}, \omega) = \underline{E}_0^+ e^{-\alpha_t \cdot z} e^{-j \beta_t \cdot z}$$



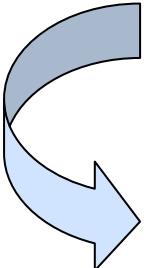
$$\frac{1}{e} = e^{-\alpha \delta}$$



$$\delta = \frac{1}{\alpha}$$

Potenza trasportata

La potenza trasportata si calcola dal flusso del **vettore di Poynting** attraverso una superficie


$$\underline{S}(\underline{r}, \omega) = \frac{1}{2} \underline{E}(\underline{r}, \omega) \times \underline{H}^*(\underline{r}, \omega)$$

il modulo della parte reale di questo vettore rappresenta la potenza trasportata dall'onda per unità di superficie (densità di potenza)

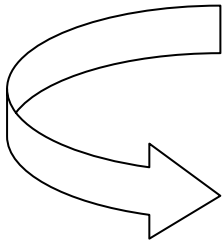
$$S = |\operatorname{Re}\{\underline{S}\}| \quad [W / m^2]$$

Potenza trasportata

Per l'onda trasmessa che propaga nel verso delle z positive si ha:

$$\underline{E}_{tessuto}(\underline{r}, \omega) = E_0^+ \underline{x}_0 e^{-\alpha_t \cdot z} e^{-j \beta_t \cdot z}$$

$$\underline{H}_{tessuto}(\underline{r}, \omega) = H_0^+ \underline{y}_0 e^{-\alpha_t \cdot z} e^{-j \beta_t \cdot z}$$



$$\underline{S} = \frac{1}{2} \underline{E} \times \underline{H}^* = \frac{1}{2} E_0^+ H_0^{+*} e^{-2\alpha_t z} \underline{x}_0 \times \underline{y}_0$$

SAR (definizione)

Per caratterizzare la cessione di potenza dall'onda al tessuto si utilizza la quantità SAR (Specific Absorption Rate)

Il SAR è definito come il rapporto tra la potenza ceduta dal campo EM ad un volume elementare di tessuto e la massa di tale volume:

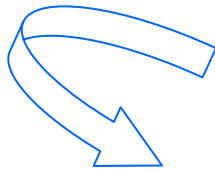
$$SAR = \frac{\sigma |\underline{\mathbf{E}}|^2}{2\rho} = \frac{\sigma |\underline{\mathbf{E}}|_{rms}^2}{\rho} \quad [W / kg]$$

dove $\frac{\sigma |\underline{\mathbf{E}}|^2}{2} = \text{densità di potenza} [W / m^3]$

$$\rho = \text{densità di massa} [kg / m^3]$$

SAR (medi)

- La quantità SAR sopra definita viene riferita ad un volume di dimensioni infinitamente piccole: è una grandezza funzione di punto
- In molti casi (normative, applicazioni terapeutiche, etc.) è più utile far riferimento a volumi più grandi: si parla di SAR medio sul volume V



$$SAR_V = \frac{\int_V \frac{\sigma |\underline{E}|^2}{2} dV}{\int_V \rho dV}$$

$$SAR_{WB} = \frac{\int_{WB} \frac{\sigma |E|^2}{2} dv}{\int_{WB} \rho dv}$$

SAR mediato su tutto il corpo

$$SAR_{10g} = \frac{\int_{10g} \frac{\sigma |E|^2}{2} dv}{\int_{10g} \rho dv}$$

SAR mediato su 10 grammi

$$SAR_{1g} = \frac{\int_{1g} \frac{\sigma |E|^2}{2} dv}{\int_{1g} \rho dv}$$

SAR mediato su 1 grammo

Lunghezza d'onda e profondità di penetrazione nei tessuti

Si è visto che:

$$\lambda = \frac{2\pi}{\beta}$$

$$\delta = \frac{1}{\alpha}$$

La lunghezza d'onda è inversamente proporzionale alla costante di fase β , mentre la profondità di penetrazione è inversamente proporzionale alla costante di attenuazione α .

A loro volta, α e β sono legate alle proprietà dielettriche del mezzo dalla condizione di separabilità

$$\underline{k} \cdot \underline{k} = k^2 = (\underline{\beta} - j\underline{\alpha}) \cdot (\underline{\beta} - j\underline{\alpha}) = \omega^2 \mu \epsilon_c$$



$$\begin{cases} \underline{\beta}^2 - \underline{\alpha}^2 = \omega^2 \mu \epsilon_0 \epsilon' \\ \underline{\beta} \cdot \underline{\alpha} = \frac{\omega \mu \sigma_{eq}}{2} \end{cases}$$

Costante di fase e di attenuazione

Svolgendo i calcoli, si trova

$$\beta = \omega \sqrt{\mu \varepsilon_0 \varepsilon'} \sqrt{\frac{1}{2} \left(1 + \sqrt{1 + \frac{\sigma_{eq}^2}{\omega^2 \varepsilon_0^2 \varepsilon'^2}} \right)} = \beta_0 \sqrt{\frac{\varepsilon'}{2} \left(1 + \sqrt{1 + \frac{\sigma_{eq}^2}{\omega^2 \varepsilon_0^2 \varepsilon'^2}} \right)}$$

$$\beta_0 = \frac{\omega}{c_0}$$

Costante di fase nel vuoto

$$\alpha = \omega \sqrt{\mu \varepsilon_0 \varepsilon'} \sqrt{\frac{1}{2} \left(-1 + \sqrt{1 + \frac{\sigma_{eq}^2}{\omega^2 \varepsilon_0^2 \varepsilon'^2}} \right)} = \frac{\omega}{c_0} \sqrt{\frac{\varepsilon'}{2} \left(-1 + \sqrt{1 + \frac{\sigma_{eq}^2}{\omega^2 \varepsilon_0^2 \varepsilon'^2}} \right)}$$

Velocità dell'onda nel vuoto

Lunghezza d'onda

Per la lunghezza d'onda si ha quindi

$$\beta = \beta_0 \sqrt{\frac{\varepsilon'}{2} \left(1 + \sqrt{1 + \frac{\sigma_{eq}^2}{\omega^2 \varepsilon_0^2 \varepsilon'^2}} \right)}$$

$$\lambda = \frac{2\pi}{\beta}$$

Lunghezza d'onda nel vuoto

$$\lambda_0 = \frac{2\pi}{\beta_0} = 2\pi \frac{c_0}{\omega}$$

$$\lambda = \frac{\lambda_0}{\sqrt{\frac{\varepsilon'}{2} \left(1 + \sqrt{1 + \frac{\sigma_{eq}^2}{\omega^2 \varepsilon_0^2 \varepsilon'^2}} \right)}}$$

In generale diminuisce al crescere della frequenza

Profondità di penetrazione nei tessuti

Per la profondità

$$\delta = \frac{1}{\alpha}$$

$$\alpha = \frac{\omega}{c_0} \sqrt{\frac{\varepsilon'}{2} \left(-1 + \sqrt{1 + \frac{\sigma_{eq}^2}{\omega^2 \varepsilon_0^2 \varepsilon'^2}} \right)}$$

$$\delta = \frac{c_0}{\omega \sqrt{\frac{\varepsilon'}{2} \left(-1 + \sqrt{1 + \frac{\sigma_{eq}^2}{\omega^2 \varepsilon_0^2 \varepsilon'^2}} \right)}}$$

In generale diminuisce al crescere della frequenza

Profondità di penetrazione: esempio

Frequenza = 1 GHz

Muscolo: $\sigma_{eq} \sim 1 \text{ S/m}$; $\epsilon' \sim 60$



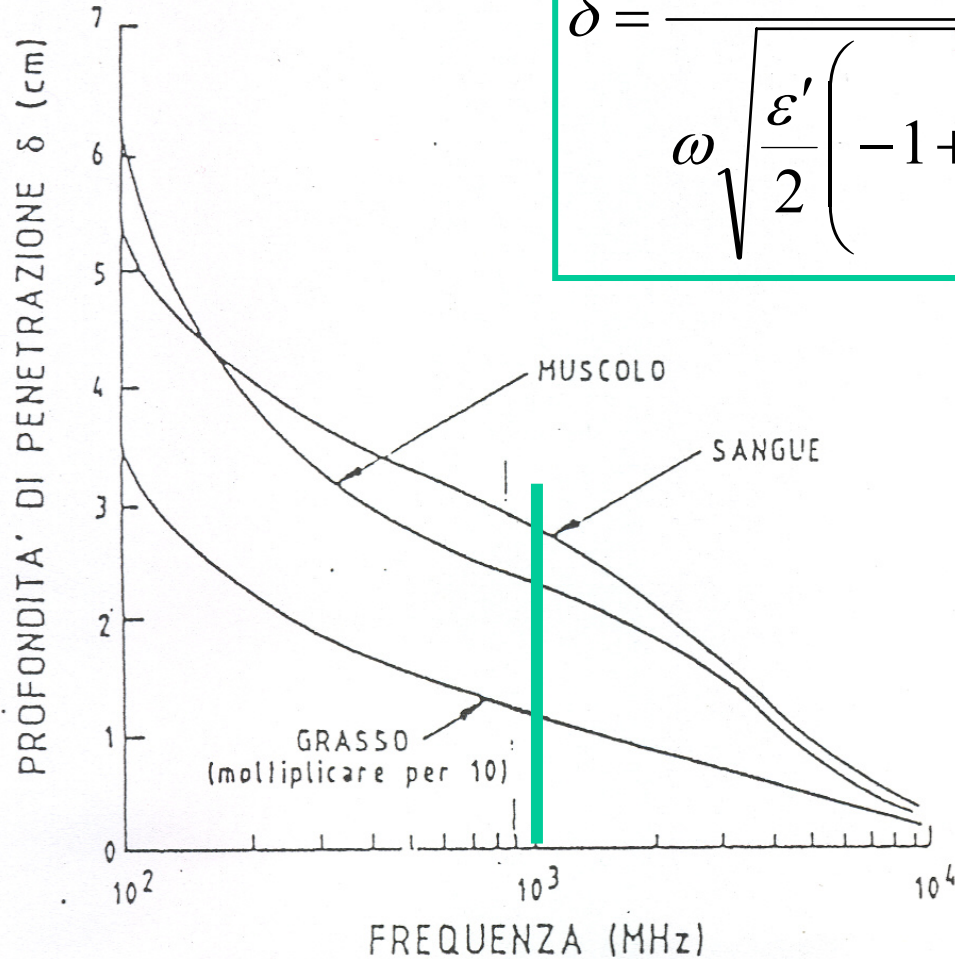
$$\omega \epsilon_0 \epsilon' = 2\pi \cdot 10^9 \cdot \frac{1}{36\pi} \cdot 10^{-9} \cdot 60 = 3.33 \text{ S/m}$$

$$\delta = \frac{c_0}{\omega \sqrt{\frac{\epsilon'}{2} \left(-1 + \sqrt{1 + \frac{\sigma_{eq}^2}{\omega^2 \epsilon_0^2 \epsilon'^2}} \right)}}$$

$$\delta \cong 0.023 \text{ m} = 2.3 \text{ cm}$$

$$\epsilon_0 = (1/36\pi) \cdot 10^{-9} \text{ (F/m)} \quad \mu_0 = 4 \pi \cdot 10^{-7} \text{ (H/m)} \quad c_0 = (\epsilon_0 \mu_0)^{-1/2} = 3 \cdot 10^8 \text{ (m/s)}$$

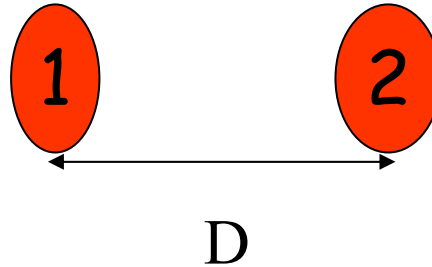
Profondità di penetrazione in alcuni tipi di tessuto biologico



$$\delta = \frac{c_0}{\omega \sqrt{\frac{\epsilon'}{2} \left(-1 + \sqrt{1 + \frac{\sigma_{eq}^2}{\omega^2 \epsilon_0^2 \epsilon'^2}} \right)}}$$

Risoluzione (potere risolvante)

La **Risoluzione** definisce la capacità di distinguere due oggetti adiacenti



- Occorre che sia $\lambda \leq D$
- Se $\lambda \cong D$ Scattering
- Se $\lambda \gg D$ oggetti indistinguibili

Nel visibile $\lambda \cong 0.4 - 0.8 \mu\text{m}$ - nell'aria

Limite di risoluzione del microscopio ottico nell'aria ($\cong 0.4 \mu\text{m}$)

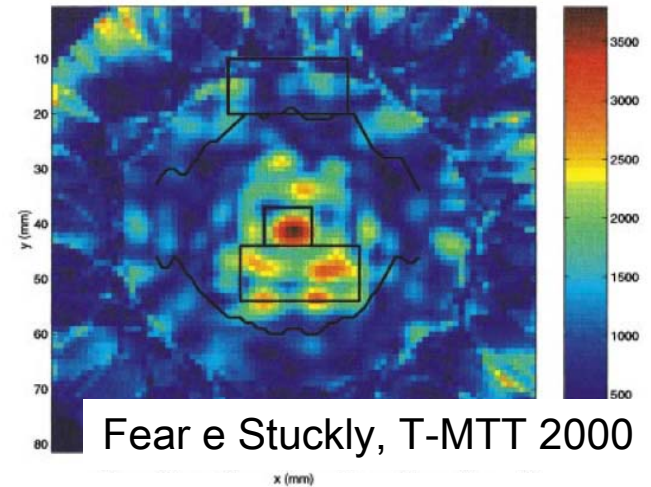
Risoluzione - esempi

- **Alle microonde**

- $f \cong 1 \div 10 \text{ GHz}$
- $\lambda \cong 30 \div 3 \text{ cm}$
- $\lambda_{\text{t}} \cong 5 \div 0.5 \text{ cm}$
- Risoluzione bassa (Max 5 mm)
- Energia minore di 10^{-3} eV (non ionizzanti)
($E = hf \rightarrow h = \text{costante di Plank}$)

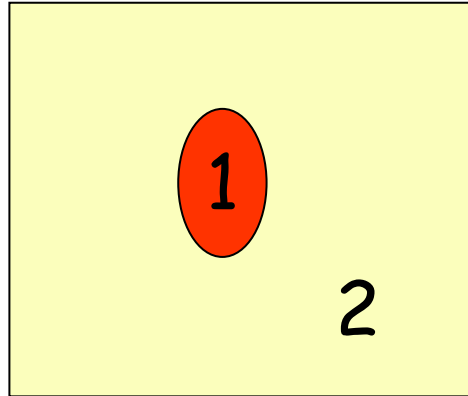
- **Raggi X**

- $f \cong 3 \cdot 10^{16} \div 3 \cdot 10^{19} \rightarrow \lambda \cong 10 \div 10^{-2} \text{ nm}$
- Alta risoluzione
- Energia maggiore di 10^2 eV (ionizzanti)
(energia di ionizzazione atomi più diffusi $\cong 10 \text{ eV}$)



Contrasto

Il contrasto definisce la capacità di distinguere due oggetti sovrapposti



- Il contrasto è legato alle diverse proprietà di assorbimento e riflessione dei due oggetti per la radiazione in esame.
- Nel visibile è legato al colore degli oggetti

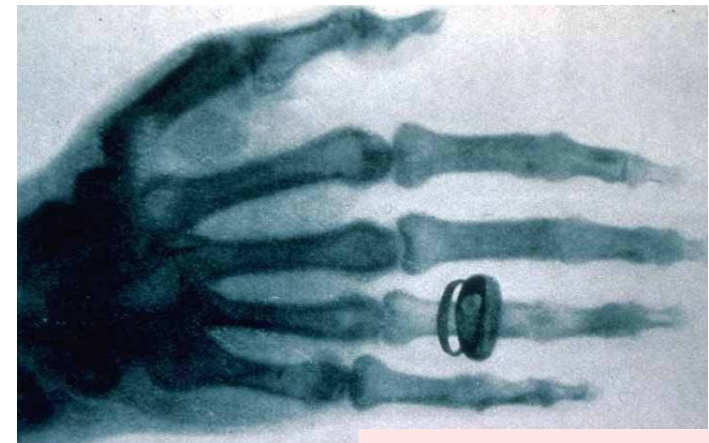
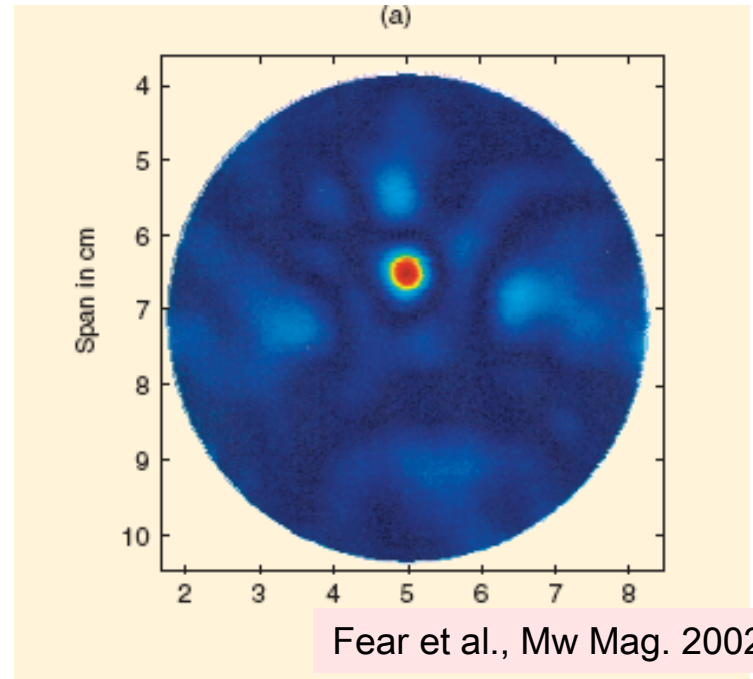
Contrasto

- **Alle microonde**

- $f \cong 1 \div 10 \text{ GHz}$
- $\varepsilon' \cong 5 \div 50$
- $\sigma_{eq} \cong 0.05 \div 10 \text{ S/m}$
- Elevato contrasto

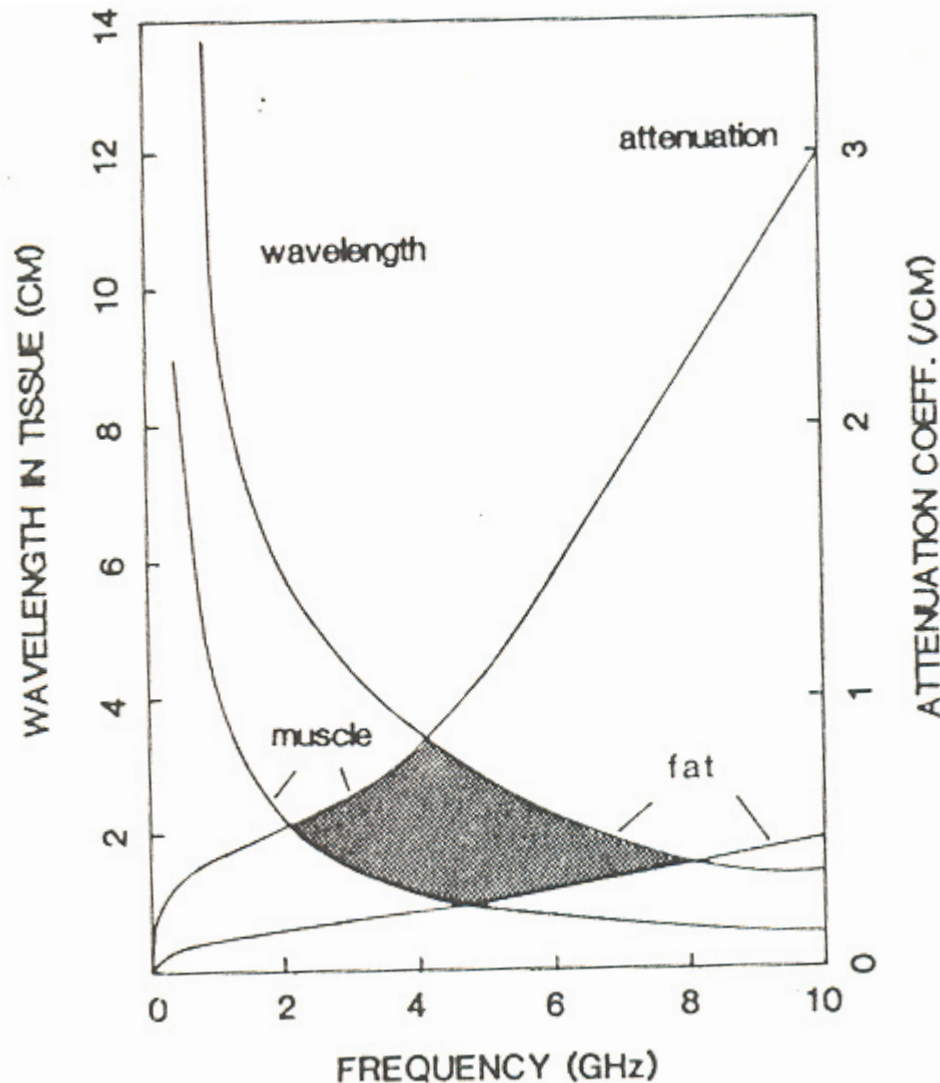
- **Raggi X**

- $\rho \cong 0.33 \text{ kg/dm}^3 \text{ (polmoni)} \div 1.2 \text{ kg/dm}^3 \text{ (osso)}$
- Basso contrasto



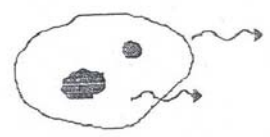
Prima immagine Rx

Microwave Imaging



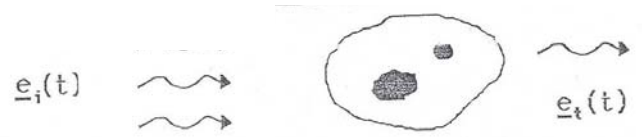
Al crescere della frequenza i campi EM si attenuano maggiormente (**bassa penetrazione**) le lunghezze d'onda si riducono quindi si ha **maggior risoluzione**.
La regione ottimale è quella ombreggiata

Diagnostica per immagini

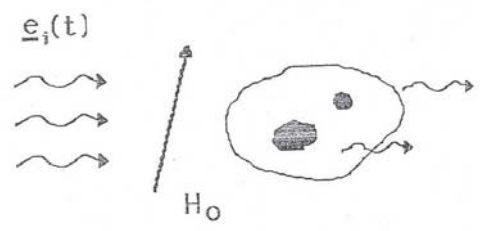
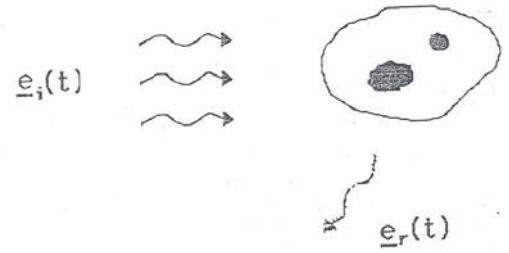


EMISSIONE SPONTANEA
(RADIOMETRIA E TERMOGRAFIA)

TRASMISSIONE
(TOMOGRAFIA)



RIFLESSIONE E
SCATTERING
(MICROWAVE IMAGING)



EMISSIONE INDOTTA DA
UNA STIMOLAZIONE RF
IMPULSIVA
(RMN)